

核因子-κB 反应性不稳定增强型绿色荧光蛋白报告系统的建立与应用^{*}

王付龙^{1,2)} 梁华平¹⁾ 刘 昕¹⁾ 徐 祥^{1) **} 王正国¹⁾

(¹)第三军医大学附属大坪医院野战外科研究所, 重庆 400042; ²中国人民解放军第 285 医院, 邯郸 056001)

摘要 建立核因子-κB (NF-κB) 反应性不稳定增强型绿色荧光蛋白 (d2EGFP) 报告系统, 作为筛选 NF-κB 拮抗药物及研究其相关信号转导途径的工具。分别以 EGFP 与 d2EGFP 为报告基因、neo^r 为筛选基因, 构建成 4 × κB 基序为增强子、SV40 为基本启动子的报告基因载体 p4κB-EGFP 和 p4κB-d2EGFP。两载体分别与 p65 载体瞬时共转染 HEK293 细胞, 通过比较不同时相点 EGFP 和 d2EGFP 的调控表达, 证明 p4κB-d2EGFP 是较理想的 NF-κB 反应性绿色荧光蛋白 (GFP) 报告基因载体。将 p4κB-d2EGFP 稳定转染 HEK293 细胞, 从而获得 NF-κB 反应性报告细胞株 HEK-d2EGFP。应用 NF-κB “圈套” 寡核苷酸 (TFD) 与 p65 载体瞬时共转染 HEK-d2EGFP, 1 mg/L NF-κB 和 2 mg/L NF-κB TFD 组对 p65 蛋白诱导调控表达的 d2EGFP 具有明显拮抗作用。结果表明, NF-κB 反应性 d2EGFP 报告系统可特异、灵敏、动态地反映和监测 NF-κB 的活性变化。

关键词 基因表达调控, 不稳定增强型绿色荧光蛋白, κB 基序, 核因子-κB, 寡核苷酸

学科分类号 Q743, R365, R45

核因子-κB (NF-κB), 作为一种普遍存在的转录因子, 系由两种 Rel 家族蛋白构成的二聚体蛋白, 其中以多肽链 p50 和 p65 两亚基形成的异源二聚体是 NF-κB 的典型代表, 而既含 DNA 结合域, 又含 DNA 活化域的 p65 亚基单独即可激活靶基因的转录与表达。已证实, NF-κB 是多种信号转导途径的汇聚点, 不仅参与介导免疫应答、病毒复制、细胞凋亡和增殖的多种基因表达调控, 而且在调节炎症反应的基因中起关键作用^[1,2]。故有关 NF-κB 的研究正日益受到重视并成为目前最活跃的研究领域之一。有证据表明^[2,3], NF-κB 可高效诱导多种细胞因子、粘附分子、趋化因子和急性期反应蛋白的基因表达, 同时对参与炎症反应放大与延续 (即级联瀑布效应) 的多种酶基因表达也具有重要的调控作用。各种急慢性炎性疾病的致病过程均与 NF-κB 的过度活化密切相关。为此, 许多学者最近提出 NF-κB 是极具潜力的新型抗炎靶点^[4]。

建立灵敏可靠的监测 NF-κB 活性及活化程度的方法, 是准确抑制 NF-κB 的过度激活, 评价 NF-κB 拮抗药物效果以及研究其相关信号转导途径所必需的前提条件。通常应用测定报告基因表达的方法来反映 NF-κB 及其顺式元件 κB 的功能。绿色荧光蛋白 (green fluorescent protein, GFP) 基因是一种新型体内分析报告基因, 具有直观原位、实时全程、分析简单的特征^[5]。但野生型 GFP 及增强型 GFP (EGFP) 等因半衰期长, 稳定性强, 对反映一过性转录表达调控的变化不甚理想。新近研制

的不稳定型 EGFP (d2EGFP), 半衰期短, 蓄积性低, 较之 EGFP 能灵敏动态地反映顺反因子作用效果的改变^[6~8]。目前反映 NF-κB 活性的 d2EGFP 报告基因载体均是以瞬时表达为基础构建的基因载体, 而以新霉素抗性筛选基因和 SV40 基本启动子为基础, 建立可调控表达 d2EGFP 的稳定报告细胞株, 用于监测 NF-κB 活性的研究尚未见文献报道。本实验室为评价 NF-κB 拮抗药物的拮抗效果, 首先拟以稳定的报告细胞株为实验平台, 建立较理想的 NF-κB 反应性 d2EGFP 报告系统, 后应用靶向 NF-κB 的“圈套” 寡核苷酸 (TFD) 竞争抑制 NF-κB, 与其顺式元件的结合而抑制 NF-κB 的转录活性, 以此检测该报告系统的优劣。该报告系统的建立为判定 NF-κB 的活化程度、研究相关信号转导因子及筛选高效的 NF-κB 拮抗药物奠定基础。

1 材料和方法

1.1 质粒与菌株

增强型绿色荧光蛋白基因载体 (pEGFP-N1)、不稳定增强型绿色荧光蛋白基因-Basic 载体 (pd2EGFP-Basic) 购自 Clontech 公司。pGL₂ control (Promega 公司产品) 为第一军医大学曾位

* 国家重点基础研究发展计划项目 (973) (G1999054203) 和国家自然基金资助项目 (30080009)。

** 通讯联系人。

Tel: 023-68757431, E-mail: xuxiang75@ctb.cq.cn

收稿日期: 2002-06-24, 接受日期: 2002-08-02

森博士馈赠。p65 载体（来源于 AIDS Research & Reference Reagent Program, NIH, USA）为本所陈永华博士惠赠。HB101 大肠杆菌为本室保存。

1.2 细胞与主要试剂

HEK293 细胞株购自 ATCC 公司，lipofectin 转染试剂购自 Invitrogen 公司，G418 购自 Sigma 公司。实验所用的酶、培养液等试剂，DNA 纯化、回收、连接、抽提试剂盒等分别购自 TAKARA、MBI、Hyclone 公司。

1.3 核苷酸链序列设计

以 pGL2-control 为模板扩增 SV40 片段的 5' 端和 3' 端引物。5' 端引物为 CGGATTAATGGTA-CTGTAACGTGAG (Ase I)，3' 端引物为 CCC-AAGCTTTTGCAGAAAGCCTA (Hind III)。4 × κB 基序的寡脱氧核苷酸链由 4 个拷贝的 κB 基序 GGGAAATTCC 前后首尾相连：正义链 5' 端 TCGAG (GGGAATTCC)₄ A (Xho I 粘端)，反

义链 5' 端 GATCT (GGAAATTCCC)₄ C (Bgl II 粘端)，退火后形成双链（下画线标明括号中酶的酶切位点或粘端）。NF-κB TFD: 5'-CGGAAAGTCCC-TTTTTA (GGGACTTTCC) GTG (GGGACTTTCC) TTTTTGGAAAGTCCCCA-3'，括号内为 κB 基序，退火后形成含 2 × κB 基序哑铃型的 TFD。上述序列均由上海博亚生物有限公司合成。

1.4 载体的构建

以 pGL2-control 为模板扩增 SV40 片段的 PCR 产物与载体 pEGFP-N1 均经 Ase I 和 Hind III 双酶切后，片段和载体连接，构建成载体 pSV40-EGFP。该载体经 Xho I 和 Bgl II 双酶切后，将 4κB 基序双链插入到 SV40 的上游，构建成 p4κB-EGFP 报告基因载体作为对照。p4κB-EGFP 与 pd2EGFP-Basic 载体均经 EcoR I 和 Hpa I 双酶切后，d2EGFP 片段置换 p4κB-EGFP 中的 EGFP，构建成 p4κB-d2EGFP 报告基因载体（图 1）。

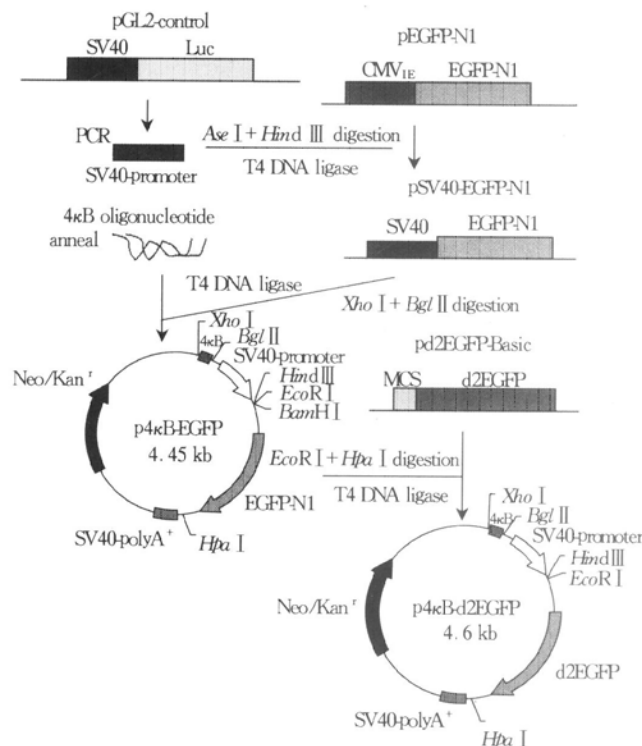


Fig. 1 Construction of p4κB-EGFP and p4κB-d2EGFP

1.5 载体的功能鉴定

将 HEK293 细胞以 1×10^6 密度接种于 12 孔培养板中，70% 细胞汇合时，参照 Lipofectin 转染试剂说明书^[9]，以载体: lipofectin 试剂 = 1 μg: 3 μl 的比例，分别应用 p65 载体 0、1 μg 与各 1 μg 的两种报告基因载体（p4κB-EGFP 和 p4κB-d2EGFP）瞬

时共转染，于转染后 0 h、4 h、12 h、24 h、36 h 5 个时间点以及分别应用不同剂量的 p65 载体（0 μg、0.5 μg、1 μg、2 μg）与各 1 μg 的 2 种载体共转染 12 h，于 495 nm 激发波长的荧光显微镜下观察荧光，并以曝光时间为 15 s 拍摄荧光照片，继而收获细胞，用 4% 多聚甲醛的 PBS 固定 10 min，荧光

活化细胞分类仪 (fluorescence activated cell sorter, FACS) 检测表达绿色荧光蛋白的阳性细胞率及荧光强度的变化。每孔做三次平行转染，以各自单纯转染报告基因载体的荧光强度及阳性细胞率作为基准，计算相对荧光强度及阳性细胞率。

1.6 NF-κB 反应性 d2EGFP 报告细胞株的建立

应用 lipofectin 介导 p4κB-d2EGFP 载体转染细胞汇合达 50% 的 HEK293 细胞。转染结束后，20% FCS 的 DMEM 完全培养液 4 ml 培养 48 h，然后以 1:4 传代，更换含 G418 (800 mg/L) 的选择性完全培养液培养，每隔 3~4 天换液一次，观察 G418 抗性克隆的生长情况。细胞形成克隆后，挑选单克隆继续在 G418 筛选下扩大培养，获得稳定转染命名为 HEK-d2EGFP 的细胞株。分别以 HEK293 细胞和 G418 筛选获得的 HEK-d2EGFP 细胞株基因组 DNA 为模板，以 4×κB 寡脱氧核苷酸链的正义链和 PCR 扩增 SV40 片段的 3' 端引物作为一对引物，进行 PCR 扩增目的片段。

1.7 NF-κB TFD 转染效率检测

将上海博亚生物有限公司合成的 5' 端标记有 6-羧基荧光素 (FAM) 的 NF-κB TFD，以 1 mg/L 的剂量应用 lipofectin 介导转染 HEK293 细胞 12 h 后，1×PBS 洗细胞 3 次，观察荧光并进行 FACS 检测有荧光标记的细胞百分率。

1.8 NF-κB TFD 抑制 d2EGFP 表达的实验

将 NF-κB TFD 以 0 mg/L、0.5 mg/L、1 mg/L 和 2 mg/L 的剂量分别与 1 μg p65 载体瞬时共转染 HEK-d2EGFP 细胞 12 h，观察荧光并进行 FACS 检测 d2EGFP 的表达情况。

1.9 HEK-d2EGFP 细胞株稳定性的鉴定

将具有功能的 HEK-d2EGFP 细胞株经冻存 6 周后复苏，连续传代培养 6 个月。继之应用 p65 载体 1 μg 以 lipofectin 介导转染该细胞 12 h、36 h，观察荧光并进行 FACS 检测 d2EGFP 的表达情况。

1.10 统计学处理

实验所得数据以均数 ± 标准差 ($\bar{x} \pm s$) 表示，多组间资料应用多因素方差分析，相关性应用线性回归分析，各项统计均用 SPSS 10.0 统计软件在计算机上完成。

2 结果

2.1 p4κB-EGFP 和 p4κB-d2EGFP 凝胶电泳鉴定

应用 4×κB 寡脱氧核苷酸链的正义链和 PCR 扩增 SV40 片段的 3' 端引物作为一对引物，以载体

p4κB-EGFP 为模板可扩增出长约 330 bp 的 4×κB-SV40 片段。应用 Hind III 酶切 p4κB-d2EGFP 可得到 0.7 kb 和 3.9 kb 两片段，两载体鉴定结果与预期一致（图 2）。

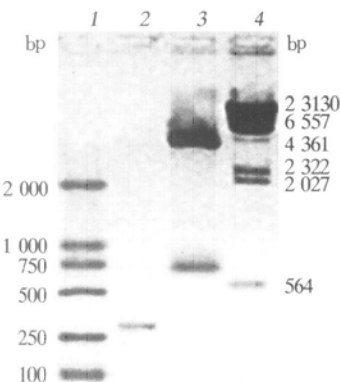


Fig. 2 Identification of p4κB-d2EGFP and p4κB-EGFP

1: DL2000 marker; 2: 4×κB-SV40 fragment; 3: p4κB-d2EGFP digested by Hind III; 4: λDNA/Hind III marker.

2.2 载体的功能鉴定

从 p65 蛋白作用于增强子 κB 基序，诱导调控 d2EGFP 和 EGFP 表达的时间效应分析可见（图 3 和图 4），p4κB-d2EGFP 载体组 0 h 未见绿色荧光细胞，4 h 可见少部分荧光较弱的细胞，绿色荧光满布于胞浆，12 h 达高峰，荧光细胞的荧光强亮，d2EGFP 的相对阳性细胞率约为 20%，36 h 荧光细胞明显减少，强度减弱变暗。p4κB-EGFP 载体组 0 h 即有略亮、稍多的荧光细胞，12 h 荧光细胞增多且荧光亮，24 h 达高峰，荧光细胞的荧光强亮，EGFP 的相对阳性细胞率约为 3%，36 h 荧光细胞的

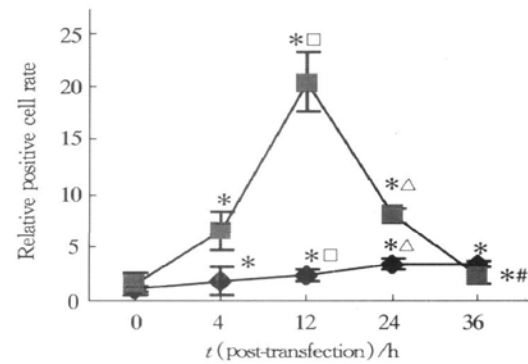


Fig. 3 Effects of relative positive cell rate and post-transfection time

* means $P < 0.01$, vs 0 h; △ means $P < 0.01$, vs 12 h, 36 h;

means $P < 0.01$, vs 4 h; □ means $P < 0.01$, vs 4 h, 24 h,

36 h. Negative control: positive cell rate 0.21%. ◆——◆:

p4κB-EGFP; ■——■: p4κB-d2EGFP.

荧光仍强亮，阳性细胞率仍未明显降低。从剂量效应分析，p65载体在0.5~2 μg剂量范围内，p4κB-d2EGFP组d2EGFP的平均荧光强度呈剂量增高趋势；1~2 μg剂量范围内，p4κB-EGFP组EGFP的平均荧光强度呈剂量增高趋势（图5），说明在p65蛋白调控下，d2EGFP较EGFP能敏感反映NF-κB活性的变化。

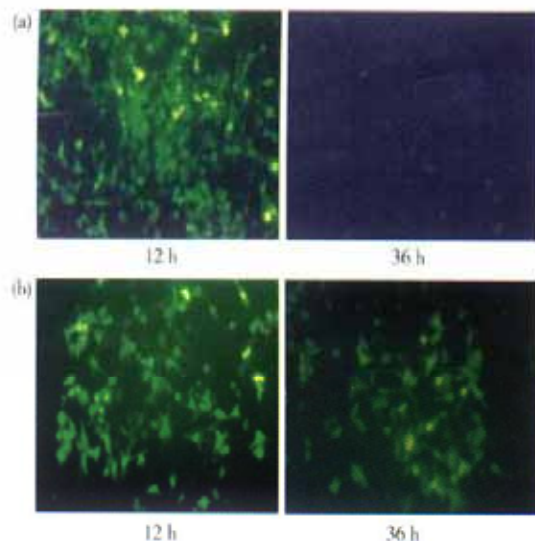


Fig. 4 The GFP fluorescence image in different time points
(200×)

(a) cotransfection of p4κB-d2EGFP and p65 in 12 h, 36 h respectively;
(b) cotransfection of p4κB-EGFP and p65 in 12 h, 36 h respectively.

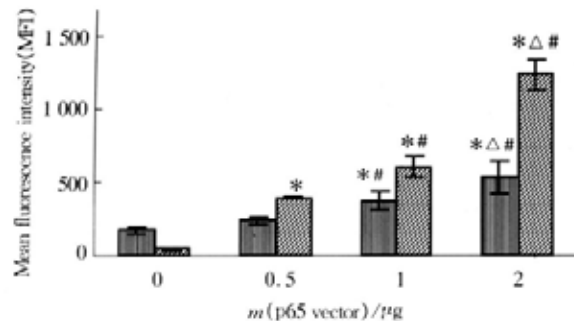


Fig. 5 Effects of mean fluorescence intensity and p65 vector dose

* means $P < 0.01$, vs 0 μg; # means $P < 0.01$, vs 0.5 μg; △ means $P < 0.05$, vs 1 μg. Negative control: mean fluorescence intensity 40.12. :p4κBEGFP; :p4κBd2EGFP.

2.3 NF-κB 反应性 d2EGFP 报告细胞株的建立

p4κB-d2EGFP 转染 HEK293 细胞，经筛选 4 周后共获得 22 株克隆细胞 HEK-d2EGFP。扩大培养后，在未诱导情况下应用荧光显微镜观察，结果

均未见有绿色荧光的细胞。从 22 株克隆细胞中，随机挑选一克隆细胞株的 PCR 扩增结果看出，整合有 p4κB-d2EGFP 的 HEK293 细胞基因组 DNA 中，可扩增到与 4 × κB-SV40 片段大小一致的约 330 bp 片段，未转染的 HEK293 细胞中则无（图 6）。将此细胞株作为后续实验的受体细胞。

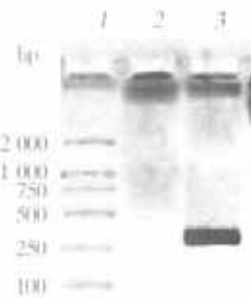


Fig. 6 Identification of reporter cell line HEK-d2EGFP gene by PCR
1: DL2000 marker; 2: HEK293 cell; 3: HEK-d2EGFP reporter cell line.

2.4 NF-κB TFD 转染效率检测

将标记有 6-FAM 的 TFD 转染 HEK293 细胞 12 h，有荧光标记的阳性细胞率达 80%，说明 TFD 能大量有效地进入细胞。

2.5 NF-κB TFD 抑制 d2EGFP 表达的实验

NF-κB TFD 在 0 mg/L 组（即单纯 p65 组），几乎所有的细胞均为强亮的绿色荧光细胞，0.5 mg/L 剂量组肉眼可见略亮、较少的荧光细胞，1 mg/L、2 mg/L 剂量组均未见荧光细胞。0.5~2 mg/L 剂量组阳性细胞率与 0 mg/L 组差异显著，1 mg/L 和 2 mg/L 剂量组间阳性细胞率差异不显著（图 7），表明 NF-κB TFD 在一定剂量范围内能有效拮抗 NF-κB 的过度活化。

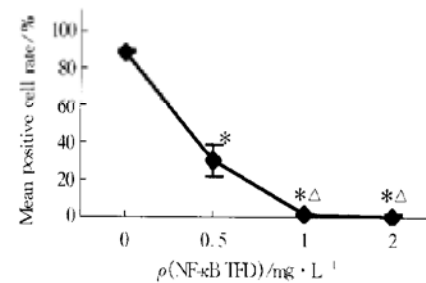


Fig. 7 Effects of mean positive cell rate and TFD dose

* means $P < 0.01$, vs 0 mg/L; △ means $P < 0.01$, vs 0.5 mg/L.
Negative control: positive cell rate 0.85%.

2.6 HEK-d2EGFP 细胞株稳定性的鉴定

经冻存复苏且传代培养 6 个月的 HEK-d2EGFP 细胞株在 p65 蛋白诱导 12 h 后, 绿色荧光细胞率从 0 升至 90% 以上, 荧光强度强亮; 36 h 后, 荧光细胞率为 0.78%, 荧光强度减弱变暗。证实 HEK-d2EGFP 细胞株具有可靠的稳定性。

3 讨 论

目前, 有几种监测 NF-κB 活性的方法, 其中 RNA 印迹、核酸酶保护实验、蛋白质印迹分析、EMSA 和 ELISA 等是在 DNA、RNA 或蛋白质水平来反映 NF-κB 的激活状态, 但由于 NF-κB 家族中的某些异源或同源二聚体具有转录抑制的作用(如 p55/p55), 故与 κB 基序作用结合的二聚体不总是促进下游基因表达的, 具有转录活性的 NF-κB 家族因子。因此应用 EMSA 存在一定的假阳性。RNA 印迹因内源性基因发生转录的 mRNA 水平不一定与其蛋白质水平成正比, 且背景较高。核酸酶保护实验和 ELISA 亦或多或少存在上述类似的不确定因素^[10, 11]。另一种监测 NF-κB 活性的方法是应用遗传报告基因系统, 通过测定报告分子来反映与 κB 基序相互作用的 NF-κB 活性, 评估其调控某一基因的表达水平。它在一定程度上克服了上述实验技术的负面效应, 简化了步骤, 降低了背景。

常用的报告基因有 Cat、Luc、LacZ 等酶类基因, 但它们都需相应的底物和辅助因子的参与才能间接监测报告分子, 故检测步骤较繁琐, 实验重复性欠佳, 更重要的是不能原位直接观察报告分子的动态表达情况。来源于水母的 GFP 是一种能在活细胞内观测、无需底物和内对照、经紫外和蓝光激发产生绿色荧光的蛋白质类报告基因; 经人工改造的 GFP 具有编码 DNA 的人源化、无毒性和荧光量化程度较高等特性, 尤其是在 EGFP 的 C 端融合了小鼠鸟氨酸脱羧酶 PEST 区(422~461)的 d2EGFP 基因, 其表达的 EGFP 蛋白在 PEST 多肽作用下降解, 半衰期从原来的 24 h 降至 2 h, 使蛋白质前后表达的水平有显著差异^[12~14]。本文应用 p65 表达载体一过性表达作为内源性诱导剂, 对人工设计的 κB 基序的特异性、增强性以及 d2EGFP 与 EGFP 的稳定性、灵敏性等进行了对照比较研究(图 3~图 5), 发现基础表达的 d2EGFP 观察不到荧光, 诱导表达的 d2EGFP 荧光强度强亮, 诱导后荧光迅速减弱, 并且在 p65 载体 0.5 μg 时即敏感观察到 d2EGFP 的显著表达。以上表明 p4κB-

d2EGFP 报告基因载体所表达的 d2EGFP, 能较精确地全程动态反映 NF-κB 的激活和失活, 较好地模拟出 NF-κB 过度激活导致相关基因大量转录的情形。

为奠定高通量实验的基础, 需建立一个同一低背景、同一较高灵敏性、避免反复转染的 NF-κB 反应性报告细胞株。目前以 d2EGFP 作为报告分子来反映 NF-κB 活性的研究尚处于起步阶段, 而且均是以瞬时转染为基础构建的基因载体。但因瞬时转染存在重复性欠佳, 需多次转染, 对难转染细胞转染效率低等缺点而不宜在大批量、高重复的筛选药物实验中操作应用。本文将报告基因 d2EGFP 和筛选基因 neo^r 构建在同一载体上, 获得了稳定报告细胞株 HEK-d2EGFP, 其未诱导时无荧光细胞, 而诱导时几乎均为荧光细胞。以 HEK-d2EGFP 细胞为操作平台, 应用转录因子圈套策略设计的 NF-κB TFD, 能有效抑制 p65 蛋白诱导的 d2EGFP 的表达, 进一步证明所建立的 NF-κB 反应性 d2EGFP 报告系统具有特异性和实效性^[15~17]。该细胞株经冻存复苏并连续传代培养 6 个月以上, 仍具有可靠的稳定性及良好的功能。

此外, 采用经典的去除了增强子的 SV40 启动子作为弱启动子, 可增加诱导前后表达水平的差异, 同时又因含 SV40 启动子的基因在不同受体细胞的转染及表达效率相对稳定, 故具有多细胞通用性的优点。

参 考 文 献

- Baldwin A S. Series Introduction: The transcription factor NF-kappaB and human disease. *J Clin Invest*, 2001, **107** (1): 3~10
- Baeuerle P A, Baltimore D. NF-κB: ten years after. *Cell*, 1996, **87** (1): 13~20
- Goebeler M, Gillitzer R, Kilian K, et al. Multiple signaling pathways regulate NF-kappaB-dependent transcription of the monocyte chemoattractant protein 1 gene in primary endothelial cells. *Blood*, 2001, **97** (1): 46~55
- Yamamoto Y, Gaynor R B. Therapeutic potential of inhibition of the NF-κB pathway in the treatment of inflammation and cancer. *J Clin Invest*, 2001, **107** (2): 135~142
- Chalfie M, Tu Y, Euskirchen G, et al. Green fluorescent protein as a marker for gene expression. *Science*, 1994, **263** (5148): 802~805
- Bi J X, Wirth M, Beer C, et al. Dynamic characterization of recombinant Chinese hamster ovary cells containing an inducible c-fos promoter GFP expression system as a biomarker. *J Biotechnol*, 2002, **93** (3): 231~242
- Lai L, Sun Q, Wu G, et al. Development of porcine embryos and offspring after intracytoplasmic sperm injection with liposome transfected or non-transfected sperm into *in vitro* matured oocytes.

- Zygote, 2001, 9 (4): 339~ 346
- 8 Indraccolo S, Roni V, Zamarchi R, et al. Expression from cell type specific enhancer-modified retroviral vectors after transduction: influence of marker gene stability. Gene, 2002, 283 (1-2): 199~ 208
- 9 Zhang Q, Tiersch T R, Cooper R K. Inducible expression of green fluorescent protein within channel catfish cells by a cecropin gene promoter. Gene, 1998, 216 (1): 207~ 213
- 10 Paunesku T, Chang Liu C M, Shearir Jones P, et al. Identification of genes regulated by UV/salicylic acid. Int J Radiat Biol, 2000, 76 (2): 189~ 198
- 11 Hess D C, Howard E, Cheng C, et al. Hypertonic mannitol loading of NF- κ B transcription factor decoys in human brain microvascular endothelial cells blocks upregulation of ICAM-1. Stroke, 2000, 31 (5): 1179~ 1186
- 12 Li X, Zhao X, Fang Y, et al. Generation of destabilized green fluorescent protein as a transcription reporter. J Biol Chem, 1998, 273 (52): 34970~ 34975
- 13 Kiss-Toth E, Guesdon F M, Wyllie D H, et al. A novel mammalian expression screen exploiting green fluorescent protein-based transcription detection in single cells. J Immunol Methods, 2000, 239 (1-2): 125~ 135
- 14 Andreatta C, Nahreini P, Hovland A R, et al. Use of short-lived green fluorescent protein for the detection of proteasome inhibition. Biotechniques 2001, 30 (3): 656~ 660
- 15 王付龙, 徐祥, 梁华平, 等. 转录因子圈套策略研究进展. 生物化学与生物物理进展, 2001, 28 (6): 802~ 805
- Wang F L, Xu X, Liang H P, et al. Prog Biochem Biophys, 2001, 28 (6): 802~ 805
- 16 Kupatt C, Habazettl H, Goedecke A, et al. Tumor necrosis factor alpha contributes to ischemia and reperfusion induced endothelial activation in isolated hearts. Circ Res, 1999, 4 (4): 392~ 400
- 17 Mann M J, Whittemore A D, Donaldson M C, et al. Ex-vivo gene therapy of human vascular bypass grafts with E2F decoys: the prevent single center, randomized, controlled trial. The Lancet, 1999, 354 (9189): 1493~ 1498

Application and Establishment of NF- κ B Responsive d2EGFP Reporter System*

WANG Fur Long^{1,2)}, LIANG Hua Ping¹⁾, LIU Xin¹⁾, XU Xiang^{1) **}, WANG Zheng Guo¹⁾

(¹) Research Institute of Surgery, Daping Hospital, The Third Military Medical College, Chongqing 400042, China;

(²) The 285th Hospital, The People's Liberation Army of China, Handan 056001, China)

Abstract To screen NF- κ B antagonistic drugs and research singal transduction pathway related to NF- κ B, two vectors, p4 κ B-d2EGFP containing destabilized enhanced green fluorescent protein (d2EGFP) reporter gene and p4 κ B-EGFP with EGFP gene, were constructed on the base of 4 copies of NF- κ B cis-element κ B as enhancer, SV40 as basic promoter and neo^r gene as selective gene. The time and dose effects of d2EGFP and EGFP induced by p65 protein showed that p4 κ B-d2EGFP was the better NF- κ B responsive GFP reporter gene system because it is more sensitive to detect the changes of gene transcription regulation after p65 vector transiently contranfected with the two vectors respectively. The NF- κ B responsive d2EGFP clonal cell line named HEK-d2EGFP was established after p4 κ B-d2EGFP stably transfected into HEK 293 cells. With the cotransfection of NF- κ B transcription factor decoy (TFD) and p65 vector into HEK-d2EGFP cells, the results showed the groups of 1 mg/L and 2 mg/L TFD could antagonized the d2EGFP expression induced by p65 protein significantly. It was demonstrated that the NF- κ B responsive d2EGFP reporter system could report and detect NF- κ B activation accurately and dynamically.

Key words gene expression regulation, destabilized EGFP (d2EGFP), κ B motif, nuclear factor kappa B (NF- κ B), transcription factor decoy (TFD)

* This work was supported by grants from The Special Funds for Major State Basic Research of China (G19990542) and The National Natural Sciences Foundation of China (30080009).

** Corresponding author. Tel: 86-23-68757431, E-mail: xuxiang75@ctt.cq.cn

Received: June 24, 2002 Accepted: August 2, 2002